

## نمونهبرداری فشرده برای داده‌های لرزه‌ای

علی غلامی<sup>۱</sup> و حمیدرضا سیاهکوهی<sup>۲</sup>

<sup>۱</sup> دانشجوی دکتری لرزه‌شناسی، مؤسسه ژئوفیزیک، دانشگاه تهران، ایران

<sup>۲</sup> استادیار گروه فیزیک زمین، مؤسسه ژئوفیزیک، دانشگاه تهران، ایران

### چکیده

در این مقاله دیدگاه جدیدی برای نمونهبرداری و بازسازی داده‌های لرزه‌ای ارائه می‌گردد. هنگامی که نمونهبرداری با فاصله‌های منظم انجام می‌گیرد، طبق تئوری نمونهبرداری نایکویست، به منظور بازسازی کامل سیگنال، سرعت نمونهبرداری باید حداقل دو برابر باند فرکانسی سیگنال باشد. نمونهبرداری با سرعتی کمتر از مقدار فوق منجر به پدیده نامطلوب الایاسینگ می‌شود که گاهی اوقات گریز از آن اجتناب ناپذیر است. در اینجا بر مبنای تبدیلات  $\mathbf{f}(t)$  (sparse) کننده سیگنال‌های لرزه‌ای (مانند wave atom) الگوریتمی برای نمونهبرداری و بازسازی داده‌های لرزه‌ای با سرعتی بسیار کمتر از حد نایکویست ارائه شده است. مبانی نظری روشن ارائه شده ایجاب می‌کند که هنگام نمونه برداری تنها اطلاعات مهم سیگنال برداشت شود. عملکرد الگوریتم تدوین شده بر روی داده‌های لرزه‌ای یک و دو بعدی نشان داده شده است.

### Abstract

In this study we present a new insight into data sampling and reconstruction. In uniform sampling, according to the Nyquist sampling theory, sampling frequency must be twice the frequency bandwidth of signal. The smaller sampling rate will produce aliasing. In this study we developed an algorithm based on sparsifying transforms (e.g. wave atom) to reconstruct signals with samples less than Nyquist limit. The method permits to sample only necessary parts of the signal. We presented the efficiency of the method on one- and two-dimensional seismic signals.

### مقدمه

در این مقاله دیدگاه جدیدی برای نمونهبرداری و بازسازی داده‌های لرزه‌ای ارائه می‌گردد. برای گریز از پدیده الایاسینگ، تئوری نایکویست برای نمونهبرداری ایجاد می‌کند که سرعت نمونهبرداری باید حداقل دو برابر باند فرکانسی سیگنال باشد. اما از یک طرف نمونهبرداری کمتر صرفه اقتصادی را به دنبال دارد و از طرف دیگر در کارهای لرزه‌ای شاهد مناطقی هستیم که نمونهبرداری در آنجا مشکل یا حتی غیر ممکن است. بنابراین هنگام بازسازی سیگنال اصلی از نمونه‌های مشاهده شده آن ناچار به استفاده از تکنیکهای درونیابی و برونیابی هستیم. این کار برای داده‌های الیاس شده مسئله ایست که همیشه ژئوفیزیکدانان با آن در گیر بوده‌اند همچنین روشهای مختلفی برای مقابله با این مسئله در ژئوفیزیک ارائه شده است [۱، ۲، ۳، ۴]. اما گذشته از دقت این روشهای همگی آنها برای مقابله با الایاسینگ مکانی ارائه شده‌اند. ما در اینجا دیدگاهی کاملاً متفاوت ارائه می‌کنیم. این دیدگاه بر مبنای خاصیت بسیار مهم سیگنال‌های لرزه‌ای با عنوان خاصیت  $\mathbf{f}(t)$  (Sparsity) استوار است. دونوهو و جانستون در سال ۱۹۹۲ از این خاصیت برای تخمین سیگنال از نوافه استفاده کردند [۵]. در [۶] نشان داده شد سیگنال‌های تنک بهتر قابل جداسازی از نوافه هستند زیرا نوافه تنکی تاپذیر است. در [۷] از این خاصیت برای حل مسائل معکوس لرزه‌ای استفاده شد و در [۸] و [۹] نشان داده شد که نمونهبرداری از سیگنال‌های تنک می‌تواند با سرعتی بسیار کمتر از حد نایکویست انجام گیرد.

### نمونهبرداری فشرده

فرض کنید سیگنال آنالوگ  $y(t)$  که قرار است نمونهبرداری کنیم دارای فرکانس بیشینه  $f_{\max}$  باشد، آنگاه طبق تئوری نمونهبرداری نایکویست برای جلوگیری از پدیده الایاسینگ باید فاصله نمونهبردای از رابطه  $\Delta t \leq (2f_{\max})^{-1}$  تبعیت کند. بنابراین اگر بخواهیم در مدت زمان  $T$  از این سیگنال نمونهبرداری کنیم، می‌بایست  $N = T/\Delta t$  نمونه از سیگنال فوق را ذخیره نماییم. حال فرض کنید

می خواهیم تعداد نمونه برداری خیلی کمتر از مقدار فوق باشد اما با این وجود قادر باشیم سیگنال را همانند زمانی که  $N$  نمونه آن در دست است به طور کامل بازسازی نمایم. راه حل چیست؟

فرض کنید  $0 \leq n \leq N$ ,  $y(t)$  حاصل نمونه برداری  $\Delta t$  باشد که به طور منظم با فاصله  $\Delta t$  نمونه برداری شده است. در این حالت  $y(t)$  کاملاً از  $y(n)$  قابل بازسازی است. حال سیگنال  $x(n)$  را به این صورت تعریف می کنیم:  $x(n) \in R^N$  تعداد نمونه های غیر صفر  $x(n)$  برابر  $M$  باشد و  $x(n) \in \{0,1\}$ . و موقعیت نمونه های غیر صفر  $x(n)$  تصادفی با توزیع نرمال باشد.

سیگنال  $z(n)$  را به صورت  $z(n) = x(n)y(n)$  تعریف می کنیم که می توان آنرا به فرم ماتریسی زیرنوشت

$$z = Xy \quad (1)$$

برای سادگی اندیس  $n$  حذف شده است. همانطور که می بینیم سیگنال  $z$  حاصل نمونه برداری تصادفی از سیگنال  $y$  است. حال باید دید آیا می توان سیگنال  $y$  را از سیگنال  $z$  بدست آورد؟ جواب مثبت است اگر سیگنال  $y$  تحت تبدیل خطی و معتمد  $F$  تنک باشد. رابطه (۱) برای  $y$  یک مسئله معکوس خطی و بشرط است زیرا بینهایت سیگنال  $y$  وجود دارد که تحت عملگر  $X$  همان نمونه های  $Z$  را تولید می کنند. اما با اعمال اطلاعات اضافی بر مسئله می توان پاسخ را یکتا نمود. می توان نوشت  $z = XF^T c$ , که  $T$  نشان دهنده ترانهاده و ضرایب  $y$  می باشند. با کاهش دادن بعد سیگنال  $Z$  خواهیم داشت  $c = \Phi^T z$ , که  $\Phi \in R^{M \times N} = \Theta F^T$ , و  $\Theta \in R^{N \times N}$  ماتریسی است که بعد  $Z$  را از  $M$  کاهش می دهد. حال اگر ضرایب  $c$  تنک باشند، رابطه بازسازی صورت مسئله بهینه سازی زیر حل نمود:

$$\begin{aligned} \hat{c} &= \min \sum_{i=1}^N |c_i| \quad \text{s.t.} \quad \hat{z} = \Phi c, \\ \hat{y} &= F^T \hat{c} \end{aligned} \quad (2)$$

رابطه (۲) یک مسئله محاسبه است و جواب یکتا دارد. بنابراین برای نمونه برداری فشرده سه شرط مهم زیر نیاز است

(۱) سیگنالی که قرار است نمونه برداری شود تحت تبدیل  $F$  تنک باشد.

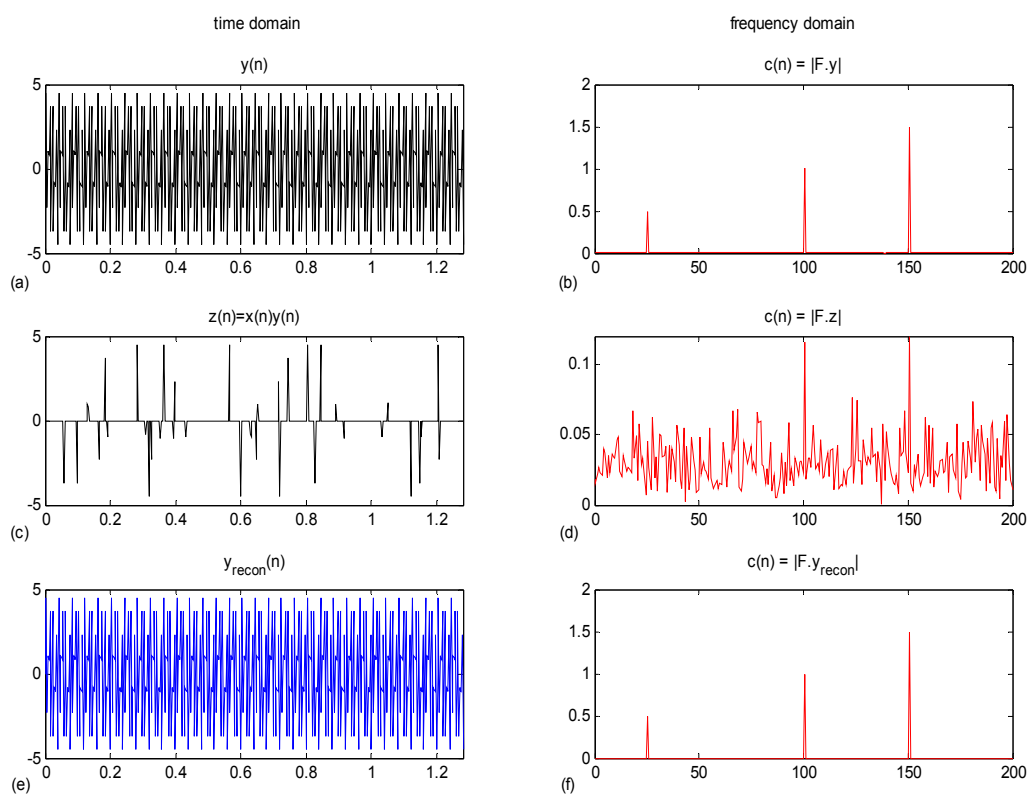
(۲) نمونه برداری تحت تبدیل  $F$  ناهمدوس باشد.

(۳) از الگوریتم بهینه سازی غیرخطی  $L_1$  برای بازسازی سیگنال استفاده شود.

در ادامه عملکرد الگوریتم فوق را بر روی داده های یک و دو بعدی لرزه ای بررسی می کنیم.

### نمونه برداری و بازسازی سیگنال های یک بعدی

در اینجا سیگنالی که قرار است نمونه برداری کنیم از سه هامونیک با فرکانس های ۲۵، ۱۰۰ و ۱۵۰ هرتز تشکیل شده است. شکل های ۱-a و ۱-b سیگنال مذکور را در بازه صفر تا  $1/28$  ثانیه و طیف فرکانسی آنرا نشان می دهند. همانطور که ملاحظه می شود سیگنال مذکور تحت تبدیل فوریه کاملاً تنک است. حال اگر بخواهیم سیگنال مذکور را در این بازه نمونه برداری کنیم طوری که قابل بازسازی باشد باید فرکانس نمونه برداری حداقل برابر  $300$  نمونه در ثانیه باشد. به عبارت دیگر حداقل باید  $384$  نمونه با فاصله های برابر از سیگنال را داشته تا قادر باشیم آنرا دقیقاً بازسازی کنیم. حالا ما تقریباً  $9$  برابر کمتر یعنی  $40$  نمونه از سیگنال را در این بازه انتخاب می کنم (شکل ۱-c)، شکل d-1 طیف فرکانسی سیگنال نمونه برداری شده را نشان می دهد پدیده الیسینگ از روی طیف فرکانسی کاملاً واضح است. در این حالت با روش های مرسوم قادر به بازسازی سیگنال اصلی نیستیم. شکل ۱-e سیگنال بازسازی شده با استفاده از الگوریتم غیر خطی (۲) را نشان می دهد. همچنین طیف فرکانسی سیگنال بازسازی شده در شکل ۱-f نشان داده شده است. ملاحظه می شود که سیگنال اصلی کاملاً بازسازی شده است.

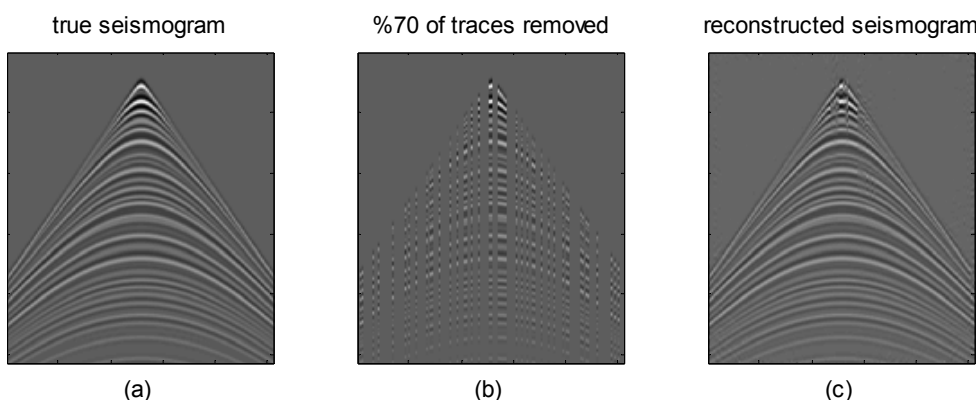


شکل ۱. قسمتهای a، c، و e به ترتیب سیگنال‌های  $y(n)$ ،  $z(n) = x(n)y(n)$  و سیگنال بازسازی شده توسط الگوریتم غیر خطی را نشان می‌دهند. طیف فرکانسی هر سیگنال در سمت راست آن نشان داده شده است.

### نمونه‌برداری و بازسازی سیگنال‌های دو بعدی لرزه‌ای

در این مثال می‌خواهیم به مقابله با الیاسینگ مکانی برویم که پدیده‌های مرسوم در لرزه شناسی است، ما در این مقاله از تبدیل wave atom ارائه شده در [۱۰] برای تبدیل تنک کننده استفاده کرده ایم. می‌توانند حالت‌های مختلفی داشته باشند از جمله پایه‌های متعامدی را تشکیل می‌دهند، همانند بسته‌ای از Curvelet ها عمل می‌کنند و برای سیگنال‌های بالگوی نوسانی کاملاً تنک کننده‌اند.

شکل ۲-۱ یک لرزه نگاشت مصنوعی را نشان می‌دهد که حاوی ۵۱۲ تریس است. حال تقریباً ۷۰٪ از تریس‌های لرزه نگاشت را دور می‌ریزیم، شکل ۲-۲، در واقع مثل این است که به جای ۵۱۲ نقطه مکانی تنها ژئوفون‌های خود را در ۱۵۰ نقطه قرار داده باشیم. خواننده می‌تواند تصور کند که با این کار چقدر هزینه عملیات برداشت داده کاهش می‌یابد! حال برای بازسازی لرزه نگاشت شکل ۲-a از الگوریتم غیر خطی L1 استفاده می‌کنیم. شکل ۲-۳ سیگنال بازسازی شده را نشان می‌دهد همانطور که ملاحظه می‌شود سیگنال اصلی به خوبی بازسازی شده است.



شکل ۲. (a) لرزه‌نگاشت مصنوعی، (b) لرزه‌نگاشت مصنوعی قسمت (a) اما هفتاد درصد از تریس‌های آن دور ریخته شده است، و (c) لرزه‌نگاشت بازسازی شده با الگوریتم غیرخطی در حوزه wave atom.

### نتیجه گیری

در این مقاله دیدگاه جدیدی برای نمونه‌برداری و بازسازی سیگنال‌های لرزه‌ای ارائه شد. الگوریتم ارائه شده نیازمند یک تبدیل تنک کننده برای سیگنال مورد نظر است که ما تبدیل wave atom را برای این منظور به جامعه ژئوفیزیک معرفی کردیم. همچنین الگوریتم غیر خطی پایداری را برای بازسازی سیگنال اصلی از تعداد بسیار کمتر از نمونه‌هایی که تئوری الیاسینگ پیشنهاد می‌کند ارائه نمودیم. عملکرد الگوریتم ارائه شده بر روی داده‌های یک و دو بعدی لرزه‌ای بررسی شد.

### منابع

- Spitz, S., 1991, Seismic trace interpolation in the F-X domain: Geophysics, **56**, 785-794.
- Claerbout, J. F., and D. Nichols, 1991, Interpolation beyond aliasing by  $(\tau, x)$ -domain PEFs: 53rd Annual Conference and Exhibition, EAGE, Extended Abstracts, 2-3.
- Fomel, S., 2002, Applications of plane-wave destruction filters: Geophysics, **67**, 1946-1960.
- Gulunay, N., 2003, Seismic trace interpolation in the Fourier transform domain: Geophysics, **68**, 355-369.
- Donoho, D., and I.M., Johnstone, 1998, Minimax Estimation via Wavelet Shrinkage, Stanford University, Ann. Statist. **26**, 3, 879-921. Technical Report, Department of Stat. 1992.
- Johnstone, M., 2002, Function Estimation and Gaussian Sequence Models. Available at: <http://www-stat.stanford.edu/~imj>.
- Gholami A., and H.R., Siahkoohi, 2007, a Hybrid Method for Linear Inversion of Geophysical Data, 69th EAGE Conference and Exhibition, London 2007.
- Candes, E., Romberg, J., and T., Tao, 2006, Robust Uncertainty Principles: Exact Signal Reconstruction from Highly Incomplete Frequency Information, IEEE Trans. Inform. Theory, **52**, 2489-509.
- Donoho, D., 2006, Compressed Sensing, IEEE Trans. Inform. Theory, **52**, 4, pp. 1289-1306.
- Demanet, L., and Ying, L., 2007, Wave atoms and Sparsity of Oscillatory patterns, Appl. Comput. Harmon. Anal.